



БИООРГАНИЧЕСКАЯ ХИМИЯ

Том 17 * № 6 * 1991

УДК 577.112.083.3

© 1991 г.

*Б. Б. Иванов, Е. А. Мещерякова, Т. М. Андронова,
В. Т. Паванов*

ИСПОЛЬЗОВАНИЕ СИНТЕТИЧЕСКИХ НОСИТЕЛЕЙ И АДЬЮВАНТОВ ДЛЯ ПОВЫШЕНИЯ ИММУНОГЕННОСТИ СИНТЕТИЧЕСКОГО ПЕПТИДА ИЗ CS-БЕЛКА *PLASMODIUM FALCIPARUM*

Институт биоорганической химии им. М. М. Шемякина АН СССР, Москва

С целью повышения иммуногенности пептида (*NANP*)₃ синтезирована серия конъюгатов пептида с белком KLH и синтетическими носителями: сополимером малеинового ангидрида с винилпирролидоном (MAVP), разветвленным поли-*D,L*-аланил-полизилизином (pAL), полигафтсином (RTKP)_n. Тестирование способности конъюгатов индуцировать анти-(*NANP*)_n-антитела проводили на линейных мышах, отвечающих на пептидный полимер (*NANP*)₄₀ без носителя (C57B1/6), и не отвечающих на этот антиген (BALB/C). Конъюгаты на основе полигафтсина с ковалентно связанным гликопептидным адьювантом GMDP индуцировали более высокие титры антител, чем конъюгат пептида с KLH. Введение в состав конъюгатов Т-хелперного эпитопа или присоединение к N-концу пептида димера тафтина приводило к получению иммуногенных конструкций.

Повышение иммуногенности антигенного материала, как правило, составляет отдельную задачу в каждом случае создания вакциниального препарата или получения гипериммунной сыворотки. Особенно остро стоит эта задача для пептидных антигенов, которые являются основой вакцин нового поколения. В большинстве случаев свободные короткие пептиды (до 20 аминокислотных остатков) не способны индуцировать образование антител. Ковалентное связывание таких пептидов с крупными белками приводит к развитию полноценного иммунного ответа на конъюгат белок—пептид. В качестве белков-носителей чаще всего используются KLH, BSA, TT. В этом ряду KLH рассматривается как наиболее иммуногенный носитель. Однако природные белки имеют ряд недостатков для их применения в качестве носителей в синтетических вакцинах. Иммунизация большим белком вызывает образование значительного количества антител, направленных против самого белка. Препараты на основе белков негомогенны и обладают неоптимальными физико-химическими характеристиками. Кроме того, было показано, что повторная иммунизация другой вакциной на основе того же белка-носителя может вызывать супрессию к гаптому [1–4].

Все попытки исключения природных белков из состава вакцин можно разделить на два основных направления. Первое — это повышение иммуногенности пептидов за счет антигенспецифической активации Т-лимфо-

Принятые сокращения: NANP, RTKP, TKPR — тетрапептиды в однобуквенном коде, AcM — ацетамидометил, BSA — бычий сывороточный альбумин, DIEA — диизопропилэтамин, GMDP — N-ацетилглюкозаминал-($\beta 1 \rightarrow 4$)-N-ацетилмурамоил-аланил-*D*-изоглутамин, ELISA — твердофазный иммуноферментный анализ, FAB — бомбардировка ускоренными атомами, *Fm* — 9-флуоренилметанол, HOBT — 1-гидроксибензотриазол, KLH — гемоцианин улитки, MAVP — сополимер малеинового ангидрида и винилпирролидона, MCS — оксисукцинимидный эфир 6-(*N*-малеимид)-аминокапроновой кислоты, MHC — главный комплекс гистосовместимости, PBS — фосфатный буфер, Pfp — пентафторфенил, pAL — поли-*D,L*-аланил-полизилизин, TEA — триэтиламины, TFA — трифторуксусная кислота, НАФ и ПАФ — неполный и полный адьюванты Фрейнда, TT — столбнячный анатоксин.

цитов, т. е. включение Т-клеточной «помощи» и создание Т-клеточной памяти с помощью синтетических Т-эпитопов. Пептиды, одновременно содержащие Т- и В-клеточные эпитопы, являются полноценными иммуногенами без какого-либо носителя. Причем эпитопы могут или принадлежать одному белку [5], или быть заимствованы из разных белков, даже различных организмов [6, 7]. Применение этой стратегии ограничивается тем, что введение в состав вакцины одного (или нескольких) Т-эпитопов патогена может не обеспечивать достаточно мощного ответа в генетически неоднородной популяции. Использование же дополнительных Т-клеточных эпитопов из чужеродных белков индуцирует Т-клеточную память, неадекватную патогену.

Второе направление подразумевает повышение иммуногенности за счет неспецифической активации антигенпредставляющих клеток с помощью адьювантов и иммуномодуляторов. К этому же направлению следует отнести применение пептидов в составе липосом, конъюгацию пептидов с жирными кислотами, а также использование в качестве носителей синтетических полимеров, обладающих собственной иммунной активностью. Так, полиэлектролитные носители — сополимеры винилпирролидона с малеиновым ангидридом или акриловой кислотой — играют роль адьюванта при иммунизации [8]. Недавно было описано успешное использование носителя, созданного на основе иммуноактивного тетрапептида — тафтсина [9].

Цель настоящей работы — дизайн полностью синтетических высокимиуногенных конструкций на основе пептидного В-эпитопа. В данной статье сообщаются результаты наших исследований возможности повышения иммуногенности пептида с помощью синтетических носителей и иммуномодуляторов. В синтезированных конструкциях варьировались способы присоединения гаптена и адьюванта к носителям, а также их эпитоная плотность. При этом иммуногенность конструкций оценивалась по титру антител класса IgG после двукратной иммунизации, т. е. оценивался уровень вторичного гуморального ответа к антигену.

В качестве пептидного антигена был выбран додекапептид (NANP_3) из центральной части CS-белка малярийного паразита *Plasmodium falciparum*, который вызывает наиболее опасную форму заболевания — тропическую малярию. Додекапептид (NANP_3) представляет три tandemных тетрапептидных повтора и несет свойства В-эпитопа области повторов CS-белка. С (NANP_3) связывают надежды на создание синтетической противомалярийной вакцины, однако вакцины на основе (NANP_3) и белка-носителя TT, а также и рекомбинантная вакцина оказались недостаточно иммуногенны для создания протективного иммунитета в испытаниях на добровольцах [6, 10]. В натуральном CS-белке тетрапептид NANP представлен в виде 40 tandemных повторов, расположенных в центральной части белка [11]. Область повторов является иммунодоминантным В-эпитопом CS-белка, однако иммунный ответ к этому району MHC-ограничен. При иммунизации мышей полимером тетрапептида — (NANP_{40}), который более точно копирует tandemные повторы белка, только мыши H-2^b-гаплотипа распознают в структуре (NANP_{40}) T-хелперный эпитоп и продуцируют анти-(NANP)-антитела [12].

В CS-белке рядом с областью повторов идентифицирован T-хелперный эпитоп мышей H-2^k-гаплотипа, расположенный в районе 323—349 [5]. Этот район, получивший обозначение TH2R, также стимулирует пролиферацию человеческих лимфоцитов, полученных от инфицированных доноров [13]. Был сконструирован антиген, содержащий ковалентно связанные пептид CSP-(326—343) (TH2R) и (NANP_6). Этот антиген вызывал образование анти-(NANP)-антител у мышей H-2^k-гаплотипа, которые не отвечают на свободный (NANP_{40}) [5]. Для исследования влияния T2HR на иммуногенность конъюгатов (NANP_3) с синтетическими носителями мы синтезировали пептид CSP-(328—343) (O3c, см. ниже) из T2HR-региона.

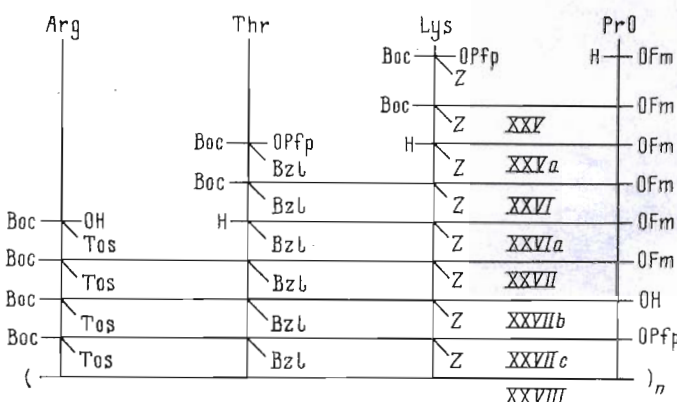
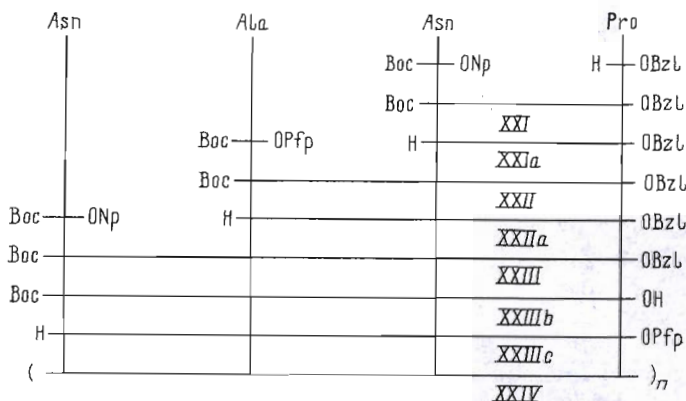
Адьюванты, применяемые в настоящее время в клинической практике, например окись алюминия, недостаточно эффективно стимулируют иммунный ответ при вакцинации. Некоторые новые синтетические иммуно-

модуляторы более привлекательны как адъюванты для вакцин [14]. Синтетический гликопептидный адъювант GMDP (N-ацетилглюкозаминил)-(β1 → 4)-N-ацетилмурамоил-аланил-D-изоглутамин) является хорошо изученным и перспективным объектом для практического применения [14]. Его структура позволяет синтезировать конструкции со встроенной адъювантностью.

В качестве носителей мы использовали MAVP (сополимер малеинового ангидрида и винилпирролидона) [15], политафтсин — (RTKP)₄₀ [10], pAL (поли-D,L-аланил-полилизин, разветвленный графт-полимер) [15]. Синтетические носители MAVP и pAL повышали иммуногенность пептидов в некоторых моделях. Например, конъюгаты синтетического пептида из гемагглютинина вируса гриппа с MAVP индуцировали первичный иммунный ответ [8]. Однако в наших исследованиях конъюгаты пептида 205—213 из VP₁ вируса ящура O₁K с MAVP и pAL были неиммуногенными [15]. Политафтсин — тандемный полимер иммуноактивного тетрапептида тафтсина — TKPR. Как известно, тафтсин обладает широким спектром иммуномодулирующего действия [16]. Ковалентное присоединение тафтсина к антигенам белковой природы приводило к усилению гуморального ответа на антиген [17].

Синтезированные конструкции и их характеристики представлены в табл. 1. Пептиды (NANP)₃ (I), Cys(Acm)-βAla-(NANP)₃ (T1c), Cys(Acm)-βAla-DKHIEQJLKKIKNSIST (O3c), (TKPR)₂ — (NANP)₃ (XVIII) (см. табл. 2) были синтезированы твердофазным методом, как описано в работе [18]. После отщепления от полимера и очистки пептиды были охарактеризованы аминокислотным анализом и масс-спектрометрией. Гомогенность пептидов подтверждалась ВЭЖХ.

Схема 1



Синтез пептидных полимеров (NANP)_n и (RTKP)_n

Таблица 1

Состав конъюгатов пептидов с носителями

Конструкция	Номер соединения	Содержание в конъюгате, вес.% *		
		NANP	GMDP	носитель
(NANP) ₃	I	100	—	—
GMDP-(NANP) ₃	II	60	40	—
(NANP) ₄₀	III	100	—	—
[GMDP-Lys~(NANP) ₃] _n	IVa	99	1	—
	IVb	98	2	—
	IVc	97	3	—
[MAVP]~(NANP) ₃	V	6	—	94
[MAVP]~(NANP) ₃ , GMDP	VI	7	6	87
GMDP-NHCH ₂				
[MAVP]~Cys-NHCH ₂	VII	7	4	89
{MCS-(NANP) ₃				
KLH~(NANP) ₃	XI	10	—	85
{KLH				
MCS	XII	8	4	88
{GMDP-Cys-βAla-(NANP) ₃				
KLH~Cys-MCS-(NANP) ₃	XIII	5	—	95
{RTKP] ₄₀ ~MCS~T1c **	XIVa	14	—	86
	XIVb	50	—	50
{RTKP] ₄₀	XVa	3	1.5	95
MCS				
{GMDP-Cys-βAla-(NANP) ₃	XVb	28	12	60
[RTKP] ₄₀ ~MCS~T1c	XVI	9	7	84
{GMDP				
(TKPR) ₂ -(NANP) ₃	XVII	60	—	—
pAL~MCS~T1c	XVIII	9	—	91
pAL~MCS~O3c	XIX	—	—	
pAL~MCS~T1c, O3c	XX	9	—	84

* Определено аминокислотным анализом.

** T1c — условное обозначение последовательности Cys(Acm)-βAla-(NANP)₃, O3c — Cys(Acm)-βAla-DKHIEQILKKIKNSIST.

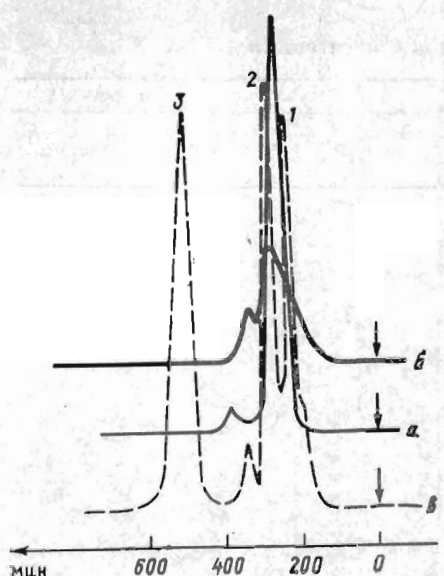
Таблица 2

Фрагменты сs-белка, синтезированные твердофазным методом

Обозначение пептидов	Область	Последовательность *	Молекулярная масса ** [M + H] ⁺
(I)	Повторы	NANPNANPNANP	1208
T1c		Cys(Acm)-βAla-NANPNANPNANP	1453
(XVII)		TKPRTKPRNANPNANPNANP	2173
O3c	328–344	Cys(Acm)-βAla-DKHIEQILKKIKNSIST	2290

* Кроме β-аланина и S-ацетамидометиляцистеина последовательность приведена в однобуквенном коде.

** Получены методом FAB-масс-спектрометрии.



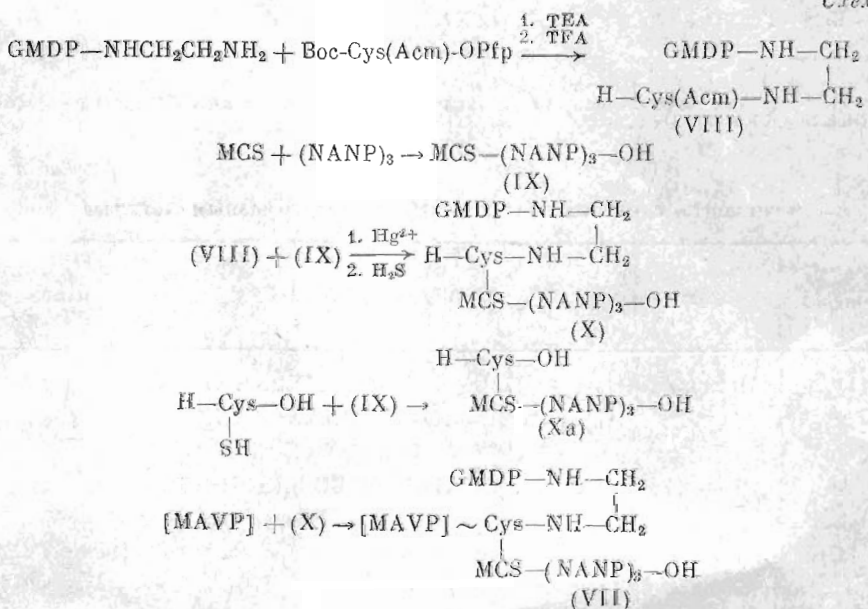
Гель-хроматография $(\text{NANP})_{40}$ (a), $(\text{RTKP})_{40}$ (b) и калибровочной смеси (c) (1 — BSA, 2 — цитохром c, 3 — глицинглицин) на колонке (25 × 800 мм) с HW-55f в 1% уксусной кислоте. Скорость элюции 1 мл/мин, скорость развертки 0.1 мм/мин, λ 226 нм

в новых полимерах (III), (IV) и $(\text{RTKP})_{40}$ оценивали по методу Марфи (см. «Экспериментальную часть»).

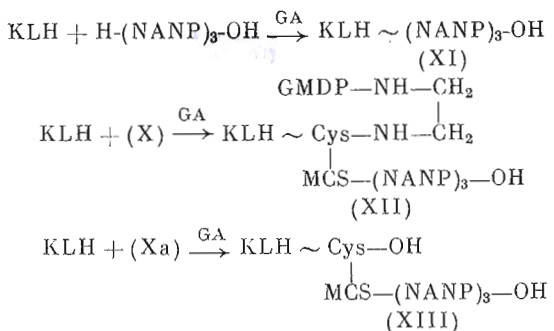
Низкомолекулярное соединение пептида и адьюванта (II) получили в растворе из пентафторфенилового эфира GMDP и свободного додекапептида.

Конструкции на основе MAVP (V) — (VII) получали прямым взаимодействием ангидридных групп полимера с аминогруппами пептида и этилендиаминового производного GMDP [15]. Подробное описание конъюгации синтетических пептидов с MAVP или pAL описано в работе [15]. Для синтеза конструкции (VII), содержащей ковалентно связанные пептид и адьюvant в эквимолярном соотношении, использовали трехфункциональный спейсер (X) на основе цистеина (схема 2).

Схема 2



Защищенные тетрапептиды Boc-AsnAlaAsnPro-OBzl и Boc-Arg(Tos)-Thr(Bzl)Lys(Z)Pro-OFm были получены в растворе (схема 1). После снятия C-концевых защитных групп пептиды превращали в соответствующие пентафторфениловые эфиры с помощью переэтерифицирующего реагента дипентафторфенилкарбоната. Пептидные полимеры $(\text{NANP})_{40}$ и $(\text{RTKP})_{40}$ получали поликонденсацией активированных эфиров тетрапептидов после снятия Boc-группы. Защитные группы политеттина снимали жидким фтористым водородом. После обессоливания полученного полимерного материала степень полимеризации пептидных полимеров определяли с помощью гель-фильтрации на Toyopearl HW-55sf (рисунок). Для получения poly(NANP) (IV), содержащего включенный в цепь адьюvant, проводили совместную поликонденсацию тетрапептида и лизинового аналога GMDP [19] с помощью дифенилфосфорилазида. Степень рацемизации пролиновых остатков в пептидах



GA — глутаровый альдегид

Конъюгаты на основе KLH (XI)–(XIII) были получены с помощью глутарового альдегида (схема 3). В этих конъюгатах варьировался тип связи пептида с белком. Если в соединении (XI) белок связывался с пептидом непосредственно через α -аминогруппу N-концевого аспарагина, то в случае синтеза соединений (XII) и (XIII) пептид конъюгиравали с белком через аминогруппу цистеина (схема 3) производных (X) и (Ха).

Cxema 4

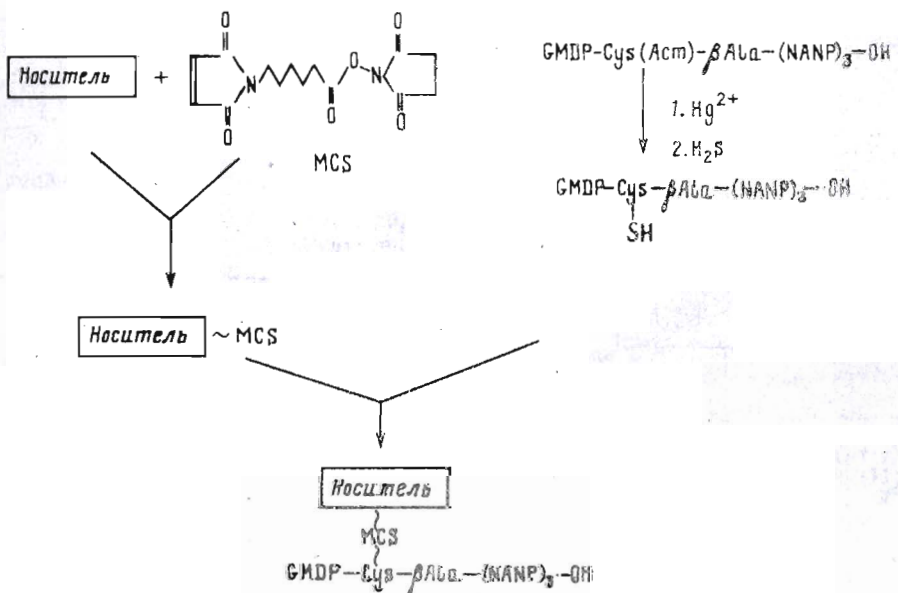


Схема 4 демонстрирует общий путь получения конъюгатов пептидов и адьювантов с аминосодержащими носителями с помощью гетеробифункционального реагента MCS. Этот способ применялся для получения конъюгатов с полиглутамином (XIV)–(XVI) и pAL (XVIII)–(XX).

Как упоминалось выше, иммуногенность синтезированных конструкций оценивалась по их способности индуцировать гуморальный иммунный ответ после двукратной иммунизации. Титр анти-(NANP)-антител класса IgG определяли стандартным твердофазным иммуноферментным анализом (ELISA). В качестве тест-антисыворотки мы использовали полимер $(NANP)_{40}$, $(NANP)_{50}$ и коньюгат пептида $(NANP)_3$ с KLH (XI) рассматривали как стандарт иммуногенности для данной модели. В табл. 3—7 приведены значения титров анти- $(NANP)_{40}$ -антител в исследованных сыворотках.

В результате изучения серии этих конъюгатов мы показали, что в этой модели низкоиммуногенный полиэлектролитный носитель MAVP не повышает иммуногенность пептида (NANP)₃. Включение адьюванта GMDP, изменение типа связи между пептидом и носителем не влияли на иммуногенность конструкций (V)–(VII). Титры анти-(NANP)₁₀-антител не пре-

Таблица 3

Титры антипептидных антител и условия иммунизации конструкций на основе MAVP *

Антиген	Содержание, вес. %		Доза, мкг/мышь	Первая иммунизация		Вторая иммунизация		Титр анти-(NANP) ₄₀ , Ig	
	NANP	GMDP		Адьювант	Антиген	Адьювант	C57B1/6	BALB/c	
(V)	6	—	200	ПАФ	(V)	НАФ	<2,4	<2,4	
(VI)	7	6	200	НАФ	(V)	»	<2,4	<2,4	
(VII)	7	4	200	»	(V)	»	<2,4	<2,4	

* Условия иммунизации см. в «Экспер. части».

Таблица 4

Титры антипептидных антител и условия иммунизации конструкций, содержащих Т-хелперный эпигенон *

Антиген	Содержание, вес. %		Первая иммунизация	Вторая иммунизация		Титр анти-(NANP) ₄₀ , Ig		Титр анти-O3с, Ig		
	NANP	O3с		Адьювант	Антиген	Адьювант	C57B1/6	BALB/c	C57B1/6	BALB/c
(XVIII)	9	—	ПАФ	(XVIII)	НАФ	2,7	<2,4	<2,4	<2,4	<2,4
(XIX)	—	10	»	(XIX)	»	<2,4	<2,4	2,8	2,8	2,7
(XX)	9	7	»	(XX)	»	3,8	<2,4	<2,4	<2,4	2,4

* Схему иммунизации см. в «Экспер. части».

Таблица 5

Титры антипептидных антител и условия иммунизации конструкций, построенныхных без носителя *

Антиген	Содержание, вес. %		Доза, мкг/мышь	Первая иммунизация		Вторая иммунизация		Титр анти-(NANP) ₄₀ , Ig	
	NANP	GMDP		Адьювант	Антиген	Адьювант	C57B1/6	BALB/c	
(I)	100	—	200	ПАФ	(I)	НАФ	<2,4	<2,4	
(II)	60	40	100	НАФ	(I)	»	<2,4	<2,4	
(III)	100	—	10	ПАФ	(III)	»	4,2	<2,4	
			100	»	(III)	»	4,6	<2,4	
			200	»	(III)	»	4,9	<2,4	
			500	»	(III)	»	5,4	<2,4	
			200	НАФ	(III)	»	4,3	<2,4	
			200	—	(III)	—	3,0	<2,4	
(IVa)	99	1	20	НАФ	(III)	НАФ	4,5	<2,4	
(IVb)	98	2	20	»	(III)	»	4,8	<2,4	
(IVc)	97	3	20	»	(III)	»	5,1	<2,4	
			100	»	(III)	»	4,9	<2,4	
			200	»	(III)	»	5,3	<2,4	
			200	—	(III)	—	4,8	<2,4	

* Схему иммунизации см. в «Экспер. части».

вышли уровня контроля для всех исследованных конъюгатов пептида (NANP)₃ с MAVP (см. табл. 3). Полученные результаты подтверждают наши более ранние исследования с пептидным гаптеном из белка VP₁ ви-руса ящура [15], однако несколько противоречат работе [8], где было показано, что MAVP придает иммуногенность синтетическому пептиду из гемагглютинина вируса гриппа. Возможно, что адьювантные свойства MAVP антигензависимы и потому проявились с пептидом из гемагглютина вируса гриппа, но не в случае пептида из VP₁ или (NANP)₃. Кроме того, мы оценивали уровень вторичного иммунного ответа по титрам IgG,

а в работе [8] оценивалась сила первичного ответа по числу антителобразующих клеток, что может служить источником противоречия.

Неожиданные результаты были получены при изучении влияния Т-хелперного эпитопа ОЗс на титр анти-(NANP)-антител. В качестве носителя для «сборки» конструкций, одновременно или раздельно содержащих В-эпипот (NANP)₃ и Т-хелперный эпипот ОЗс, мы использовали низкоиммуногенный носитель рAL (см. табл. 4). Тем не менее конъюгат (XVIII) неиммуногенного (NANP)₃ с рAL индуцировал умеренный анти-(NANP)-ответ в мышах Н-2^b-гаплотипа, а конъюгат (XIX) — анти-(ОЗс)-ответ для мышей Н-2^d и Н-2^b. Использование конъюгата (XX), одновременно содержащего (NANP)₃ и ОЗс, приводило к существенному повышению ответа на (NANP)₃ для мышей Н-2^b и в то же время к снижению ответа на ОЗс. При этом необходимо отметить, что ОЗс — укороченная на две аминокислоты часть района TH2R, который, как было показано в работе [5], не оказывает «помощи» в индукции иммунного ответа на (NANP)₃ для мышей Н-2^b- и Н-2^d-гаплотипов. Подобное явление возникновения иммунохимических функций пептидов при их укорачивании наблюдалось и ранее, например для пептида из R1-региона CSP, удлинение которого на шесть аминокислот с N-конца приводило к полному подавлению специфических для укороченного пептида функций [6]. Возможно, что аминокислотные остатки Pro³²⁶ и Ser³²⁷ пептида TH2R входят в состав Т-супрессорного эпипота для Н-2^b-гаплотипа, поэтому исключение этих аминокислот привело к проявлению Т-хелперных свойств пептида ОЗс.

В табл. 5 представлена иммуногенность пептидов без носителя. Пептид (NANP)₃ (I), так же как и пептид (II) с присоединенным к N-концевой аминогруппе GMDP, неиммуногенны в свободном состоянии. Полимеризация тетрапептида NANP до (NANP)₄₀ (III) превращает его в иммуноген, однако ответ к пептиду (III) находится под Ig-гешным контролем, поскольку пептид (III) иммуногенен только для мышей Н-2^b-гаплотипа (C57B1/6). Титры антител слабо зависят от дозы пептида (III) в интервале 10—500 мкг/мышь, однако в большой степени зависят от мощности адьюванта и при иммунизации в физиологическом растворе пептид (III) слабоиммуногенен. Включение GMDP в полипептидную цепь полимера (соединение (IV)) не приводит к существенному повышению иммуногенности даже для отвечающей линии мышей, однако позволяет заменять микобактерии в ПАФ. Наблюдается корреляция между титрами антител и содержанием адьюванта (ср. (IVa)—(IVc)), но в исследованных пределах эта зависимость незначительна. Применение GMDP не изменило иммуногенность конструкций (I)—(IV) для неотвечающей линии животных. Как и в случае неиммуногенных конструкций на основе MAVP, ни ковалентное связывание, ни механическое смешение GMDP с антигеном не приводило к появлению антител.

Конструкции на основе полигафтина (XIV)—(XVI) оказались иммуногенными для обеих линий мышей (см. табл. 6). При этом высокоиммуногенными оказались только конъюгаты с большой эпипотной плотностью пептидного гаптена (XIVb, XVb). Следует отметить, что в НАФ высокоиммуногенными были только конструкции с ковалентно связанным GMDP, в то время как смесь (XIVb) и GMDP индуцировала значительно меньшие титры антител, т. е. для конъюгатов на основе полигафтина ковалентное присоединение GMDP заменяет микобактерии в ПАФ. Несмотря на то что полигафтин не является высокоиммуногенным соединением, конъюгаты (XIV)—(XVI) на его основе дали высокий ответ на пептидный гаптен. Во всех исследованных нами конъюгатах в качестве носителя использован полигафтин, модифицированный конъюгирующим агентом — MCS. При использовании в ELISA тест-антитена (RTKP)₄₀-MCS титр антител достигал значения 4,2. Такая высокая иммуногенность модифицированного полигафтина может быть объяснена разными причинами. Возможно, что модификация полимера сравнительно гидрофобной аминокапроновой кислотой приводит к образованию молекулярных структур, сходных с Т-хелперными эпипотами белков или пептидов. В нашем случае эти структуры должны включать Т-хелперы для двух

Таблица 6

Титры антипептидных антител и условия иммунизации для конструкций на основе полиглутамина*

Антиген	Содержание, вес. %		Доза, мкг/мышь	Первая иммунизация		Вторая иммунизация		Титр анти-(NANP) ₄₀ , Ig	
	NANP	GMDP		Адьювант	Антиген	Адьювант	C57B1/6	BALB/c	
(XIVa)	14	—	100	ПАФ	(XIVa)	НАФ	2,8	3,0	
(XIVb)	40	—	100	»	(XIVb)	»	4,2	3,9	
			100	НАФ	(XIVb)	»	3,7	<2,4	
			100	—	(XIVb)	—	2,7	<2,4	
GMDP + +(XIVb)	40	10	100	НАФ	(XIVb)	НАФ	3,3	3,3	
			100	—	(XIVb)	—	3,0	<2,4	
(XVa)	3	1,5	100	НАФ	(XIVa)	НАФ	3,0	3,3	
(XVb)	28	12	100	»	(XIVb)	»	5,1	3,0	
			100	—	(XIVb)	—	3,2	<2,4	
(XVI)	9	7	100	НАФ	(XIVb)	НАФ	2,8	2,8	
(XVII)	60		200	ПАФ	(XVII)	»	3,6	3,1	

* Схему иммунизации см. в «Экспер. части».

Таблица 7

Титры антипептидных антител и условия иммунизации для конструкций на основе KLH*

Антиген	Содержание, вес. %		Доза, мкг/мышь	Первая иммунизация		Вторая иммунизация		Титр анти-(NANP) ₄₀ , Ig	
	NANP	GMDP		Адьювант	Антиген	Адьювант	C57B1/6	BALB/c	
(XI)	10	—	200	ПАФ	(XI)	НАФ	4,6	5,1	
			200	НАФ	(XI)	»	4,6	5,5	
			200	—	(XI)	»	4,6	5,1	
(XII)	8	4	100	НАФ	(XIII)	»	4,8	4,8	
			200	»	(XIII)	»	4,6	4,6	
			200	—	(XIII)	—	5,5	5,3	
(XIII)	5	—	100	ПАФ	(XIII)	НАФ	5,1	4,3	
GMDP + +(XIII)	5	10	100	НАФ	(XIII)	»	4,9	4,5	
			100	—	(XIII)	—	4,9	5,1	

* Схему иммунизации см. в «Экспер. части».

различных гаплотипов животных. Нам представляется более вероятным, что иммуногенность обусловливается неспецифической иммуноактивирующей функцией носителя.

В исследованных сыворотках не было обнаружено антител, направленных против полиглутамина. Отсутствие антител, способных вызывать перекрестные реакции с иммуноглобулинами организма, — еще одно привлекательное качество полиглутамина как носителя для вакцинации.

Чтобы проверить возможность использования тафтина для стимуляции иммунного ответа на короткие синтетические пептиды, мы синтезировали «химерный» пептид (XVII) ((TKPR)₂-(NANP)₃). В этой конструкции к N-концу (NANP)₃ посредством нормальных пептидных связей присоединен димер тафтина. Такая модификация неиммуногенного пептида (NANP)₃ превратила его в иммуногенный антиген, причем для обеих линий мышей (см. табл. 6). В сыворотке, полученной на пептид (XVII), титры антиполиглутаминовых антител не превышали уровня контроля. Эти данные подтверждают наше предположение о неспецифической иммуноактивирующей роли полиглутамина в конъюгатах.

Как и ожидалось, конъюгаты на основе высокоиммуногенного белка KLH (XI)—(XIII) оказались иммуногенными для обеих линий мышей (см. табл. 7). Иммуногенность практически не зависела от типа связи пептида с белком, эпитопной плотности, а также адьюванта. Так, соединение

(XI) индуцировало одинаковые титры антител как в ПАФ или НАФ, так и при иммунизации в физиологическом растворе. Конъюгаты (XII), (XIII), содержащие спайсерную группировку между белком и пептидом, на линии C57B1/6 индуцировали титры, достоверно превышающие титры против (XI). Обратная тенденция просматривается с этими же конъюгатами на линии BALB/c, поэтому неясно влияние типа связи на иммуногенность в этих конструкциях.

По иммуногенности и реактивности в отношении адьювантов исследованные образцы можно разделить на три группы. Так, к группе полностью неиммуногенных конструкций относятся конструкции на основе MAVP (V)—(VII) и неиммуногенные для линий BALB/c конструкции на основе (NANP)₄₀. В этих конструкциях отсутствуют Т-хеллерные эпитопы, и они не проявляют иммуномодуляторной активности, поскольку GMDP, вероятно, как и N-ацетилмурамоил-аланил-D-изоглутамин (MDP), эффективно стимулирует только активированные иммунокомпетентные клетки [20]. В этих случаях ни ковалентное присоединение GMDP, ни его механическое смешивание с антигеном не преодолевают Ig-рестрикций. Конъюгаты второй группы на основе KLH безусловно иммуногенны для всех линий животных. В случае KLH, обладающего широким набором Т-эпитопов, иммуногенность конъюгатов обусловливается мощной активацией Т-хеллеров и практически не зависит от адьюванта. Третья группа конструкций — конъюгаты на основе политафтина и (NANP)₄₀ (для C57B1/6) — обладают существенно меньшим набором Т-эпитопов и в общем случае должны быть менее мощными индукторами иммунного ответа, чем KLH-конъюгаты. Иммуногенность этих конъюгатов явно зависит от выбора адьюванта и максимальна при иммунизации в ПАФ. Ковалентное присоединение GMDP обеспечивает одновременное представление гаптена и адьюванта иммунокомпетентным клеткам, что может влиять на механизм индукции иммунного ответа. В случае политафтина возможна дополнительная стимуляция иммунного ответа за счет неспецифической активации макрофагов.

Таким образом, в результате исследования серии конъюгатов пептидного гаптена (NANP)₃ с различными носителями были синтезированы полностью синтетические конструкции, иммуногенность которых сравнима с иммуногенностью традиционных пептидо-белковых конъюгатов. Было показано, что неспецифическая стимуляция В-клеточной системы позволяет повысить иммуногенность синтетических пептидов. Полученные данные позволяют надеяться, что с помощью неспецифической стимуляции возможно преодоление МНС-рестрикции иммунного ответа, что является одним из ключевых моментов разработки вакцин нового поколения. Также было показано, что ковалентное присоединение GMDP повышает гуморальный ответ к низкоиммуногенным конъюгатам и позволяет заменять микобактерии в ПАФ.

Экспериментальная часть

Для синтеза использовали L-аминокислоты и их производные фирм Reanal (Венгрия), Fluka (Швейцария), Merck (ФРГ), PRF (Япония). Масс-спектры получали на приборе Kratos MS50TS методом FAB. Аминокислотный анализ гидролизатов выполняли на анализаторе Durrum Merck после 24-часового гидролиза образца 6 н. соляной кислотой в запаянной ампуле при 110° С. Данные аминокислотного анализа интерпретировались без учета разложения аминокислот при гидролизе. ТСХ защищенных пептидов на силикагеле проводили на пластинках Kieselgel 60 (Merck, ФРГ) в следующих системах растворителей: хлороформ — метанол, 95 : 5 (A), 90 : 10 (Б), 80 : 20 (В), этилацетат — хлороформ — метанол — уксусная кислота, 30 : 15 : 5 : 1 (Г), n-бутанол — уксусная кислота — вода, 4 : 1 : 1 (Д). Обессоливание осуществляли на сефадексе G-10 (Pharmacia), гель-хроматографию — на сефадексе G-25sf и HW-40f (Toyoosoda) в 1% уксусной кислоте. ВЭЖХ проводили на хроматографе Beckman 340 на колонке (4,6 × 150 мм) с Ultrasphere ODS, используя градиент концентрации ацетонитрила в 0,1% трифтормуксусной кислоте.

Промежуточные производные (VIII), (XXI)–(XXVII) были охарактеризованы аминокислотным анализом, масс-спектрометрией и данными ТСХ. Пептиды (I), (II), T1c (XVII), ОЗс и промежуточные производные (VIII)–(X) охарактеризованы аминокислотным анализом, масс-спектрометрией и данными ВЭЖХ. Конструкции (III)–(VII), (XI)–(XX) охарактеризованы аминокислотным анализом.

Определение степени рацемизации по Мэрфи. Количество содержание D-Pro в пептидных полимерах определяли с помощью хроматографического разделения аминокислотных гидролизатов, модифицированных 1-фтор-2,4-динитрофенил-5-L-аланиламином (реагент Мэрфи, Pierce).

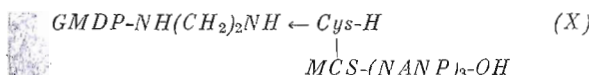
К 10 мкл раствора исследуемого гидролизата, содержащего 0,05 мкмоль аминокислот, прибавляли 100 мкг реагента Мэрфи, 20 мкл ацетона и 4 мкл 1 М NaHCO₃. Смесь термостатировали при 40 °C в течение 1 ч, затем охлаждали, прибавляли 20 мкл 2 М HCl, 200 мкл ацетона и 100 мкл воды. Хроматографический анализ проводили на колонке Ultrasphere ODS, для элюции использовали градиент концентрации ацетонитрила от 20 до 40% в 0,02 М триэтиламмоний-fosfатном буфере, pH 7,0.

Синтез пептидов и носителей. Пептиды (NANP)₃ (I), Cys(Acm)-βAla-(NANP)₃ (T1c) были синтезированы на хлорметилированном сополимере стирола и дивинилбензола SX-1 (Bio-Rad), пептиды Cys(Acm)-βAla-DKHIEQILKKIKNSIST (ОЗс), (TKPR)₂-(NANP)₃ (XVIII) на аминометилированном полимере с использованием в качестве линкера 4-гидроксиметилфенилуксусной кислоты. Синтез проводили в неавтоматизированном варианте. В качестве временной защиты α-аминогрупп использовали Вос-группу. Подробное описание синтеза и очистки пептидов изложено в работе [18].

GMDP-(NANP)₃-OH (II). К раствору 61 мг (50 мкмоль) соединения (I) в 1 мл DMF прибавляли 28 мкл (200 мкмоль) триэтиламина, 86 мг (100 мкмоль) GMDP-OPfp [15] и перемешивали 24 ч, затем в реакционную смесь добавляли эфир, выпавший осадок отфильтровывали и сушили. Хроматографировали на колонке с DEAE-Toyopearl 650 M в градиенте концентрации аммоний-ацетатного буфера (0 → 0,1 М), pH 6,5. Получали 80 мг (85%) соединения (II). FAB: [MH⁺] 1885.

GMDP-NH(CH₂)₂NH ← Cys(Acm) (VIII). Растворяли 210 мг (300 мкмоль) GMDP-NH-CH₂-CH₂-NH₂ [15], 130 мг (300 мкмоль) Вос-Cys(Acm)-OPfp, 40 мкл (300 мкмоль) триэтиламина в 1 мл DMF, перемешивали 16 ч. Продукт осаждали эфиром, отщепляли Вос-группу трифторуксусной кислотой и выделяли соединение (VIII) препаративной обращенно-фазовой хроматографией на колонке (16 × 250 мм) с Silasorb C18. Для элюции использовали градиент концентрации ацетонитрила (0 → 40%) в 0,1% трифторуксусной кислоте. Получали 97 мг (35%) соединения (VIII). FAB: [MH⁺] 913.

MCS-(NANP)₃-OH (IX). 48 мг (40 мкмоль) соединения (I) растворяли в 1 мл PBS, pH 7,5, прибавляли 240 мг (800 мкмоль) MCS в 0,5 мл 1,4-диоксана и перемешивали 40 мин. Полученную смесь обессоливали на сефадексе G-10 в 1% уксусной кислоте. Получали 48 мг соединения (IX). FAB: [MH⁺] 1403.



К раствору 18 мг (20 мкмоль) соединения (VIII) в 3 мл 1% уксусной кислоты прибавляли 64 мг (200 мкмоль) ацетата ртути(II). Перемешивали 1 ч, затем в течение 1 ч раствор насыщали током сероводорода, осадок отделяли центрифугированием и супернатант лиофилизовали. К лиофилизованному супернатанту прибавляли раствор 21 мг (15 мкмоль) соединения (IX) в 3 мл 1% уксусной кислоты, перемешивали 6 ч, а затем хроматографировали на G-25 sf в 1% уксусной кислоте. Собирали высокомолекулярную фракцию и лиофилизовали. Получали 11 мг (25%) соединения (X).

FAB: $[M\dot{H}^+]$ 2242; хроматография на колонке Ultrasphere ODS обнаружила наличие четырех ожидаемых пиков.

Cys

MCS-(NANP)₃-OH (Xa). Соединение (Xa) синтезировали из соединения (IX) и Cys(Acm) по аналогичной методике. FAB: $[M\dot{H}^+]$ 1524.

Boc-AsnPro-OBzl (XXI). Растворяли 7,06 г (20 ммоль) Boc-Asn-ONp, 4,84 г (20 ммоль) HCl·Pro-OBzl, 2,7 г (20 ммоль) HOBr в 40 мл этилацетата, прибавляли 2,76 мл (20 ммоль) триэтиламина и перемешивали 18 ч. Разбавляли этилацетатом до 300 мл и промывали 0,1 н. H_2SO_4 (2 раза), 3% раствором аммиака (6 раз), насыщенным раствором NaCl (2 раза). При упаривании этилацетата на роторном испарителе начиналась кристаллизация дипептида. Получали 5,67 г (68%) индивидуального по TCX дипептида (XXI), R_f 0,35 (A), 0,52 (B), 0,83 (B), 0,46 (Г), 0,85 (Д), FAB: $[M\dot{H}^+]$ 420.

TFA·AsnPro-OBzl (XXIa). 6,81 г дипептида (XXI) растворяли в 50 мл смеси хлористого метилена и трифторуксусной кислоты (1 : 1). Через 30 мин раствор упаривали до масла. Полученное масло промывали сухим эфиром, растворяли в сухом этилацетате, при этом немедленно начиналась кристаллизация. Кристаллы фильтровали, промывали сухим эфиром. Получали 6,32 г (90%) деблокированного дипептида (XXIa). Аналогично проводили снятие Boc-группы с пептидов (XXII), (XXV), (XXVI).

Boc-AlaAsnPro-OBzl (XXII). 5,2 г (12 ммоль) соединения (XXIa) суспендировали в 50 мл этилацетата, прибавляли 4,63 г (13 ммоль) Boc-Ala-OPfp и 1,5 мл (12 ммоль) N-метилморфолина. После 15 мин перемешивания смесь становилась гомогенной, а еще через 1 ч выпадал осадок. Через 10 ч осадок фильтровали, промывали сухим эфиром. Получали 5,00 г (86%) индивидуального по TCX трипептида (XXII), R_f 0,21 (A), 0,43 (B), 0,81 (B), 0,23 (Г), 0,75 (Д). FAB: $[M\dot{H}^+]$ 491.

Boc-AsnAlaAsnPro-OBzl (XXIII). 1,48 г (4,2 ммоль) Boc-Asn-ONp, 2 г (4 ммоль) соединения (XXIIa), 567 мг (4,2 ммоль) HOBr и 562 мкл (4 ммоль) триэтиламина растворяли в 30 мл DMF. Через 12 ч выпадал осадок. Смесь разбавляли этилацетатом и фильтровали. После перекристаллизации из горячего этанола получали 1,43 г (59%) тетрапептида (XXIII), индивидуального по TCX. R_f 0,06 (A), 0,21 (Б), 0,52 (B), 0,07 (Г), 0,49 (Д). FAB: $[M\dot{H}^+]$ 607.

Boc-AsnAlaAsnPro-OH (XXIIIb). 1,2 г (2 ммоль) тетрапептида (XXIII) растворяли в 30 мл метанола и гидрировали в токе водорода над палладиевой чернью. После исчезновения в смеси исходного тетрапептида (контроль с помощью TCX) метанол упаривали и пептид осаждали эфиром. Получали 898 мг (91%) частично защищенного тетрапептида (XXIIIb), R_f 0,34 (Д).

TFA·AsnAlaAsnPro-OPfp (XXIIIc). К раствору 986 мг (2 ммоль) тетрапептида (XXIIIc) в 3 мл DMF прибавляли 788 мг (2 ммоль) дипентофторфенилкарбоната и 0,5 мл (4 ммоль) триэтиламина. Через 1 ч активированный эфир тетрапептида (XXIIIc) осаждали сухим эфиром, растворяли в метаноле и снова осаждали эфиром. После снятия Boc-группы трифторуксусной кислотой осаждали соль активированного эфира тетрапептида абсолютным эфиром. Получали 990 г (64%) (XXIIIc).

(AsnAlaAsnPro)_n (XXIV). К раствору 1,1 г (1,4 ммоль) соединения (XXIIIc) в 4 мл DMF прибавляли 400 мкл (3 ммоль) триэтиламина и 25 мг (0,2 ммоль) диметиламинопиридина и перемешивали в закрытом сосуде 80 сут при 18° С. Затем упаривали DMF, растворяли смесь в 10 мл 1% уксусной кислоты и обессоливали на G-25sf, в 1% уксусной кислоте. Получали 560 мг высокомолекулярного пептидного материала (XXIV). Высокомолекулярную фракцию (XXIV) хроматографировали на колонке с HW-40f в 1% уксусной кислоте. Получали 260 мг полипептида (III). Каждая молекулярная масса, определенная на HW-55sf, составляла 20—25 кДа, что соответствует содержанию 40—50 тетрапептидных блоков. Тест по Мэрфи показал присутствие не более 3% D-Pro в кислом гидролизате полимера (III).

$[GMDP\text{-}Lys \sim (NANP)_3]_n$ (IVa—c). 24 мг (20 мкмоль) соединения (I), 0,8 мг (1 мкмоль) лизинового производного GMDP (GMDP-Lys [19]) растворяли в 0,5 мл DMF, прибавляли 13 мкл (100 мкмоль) триэтиламина, 17 мкл (80 мкмоль) дифенилfosфороилазида и перемешивали 30 сут. К реакционной массе прибавляли 1,5 мл воды и хроматографировали на G-25 sf в 0,1 М уксусной кислоте. Собирали высокомолекулярную фракцию, лиофилизовали и хроматографировали на Toyopearl HW-40 в том же элюенте. После лиофилизации фракции, содержащей высокомолекулярные продукты, получали 2,5 мг цептидного полимера (IVa) с молекулярной массой 5–10 кДа. При получении соединений (IVa) и (IVb) по аналогичной методике использовали 1,6 мг (2 мкмоль) и 2,4 мг (3 мкмоль) GMDP-Lys.

Boc-Lys(Z)Pro-OFm (XXV). К раствору 3,52 г (6 ммоль) Boc-Lys(Z)-OPfp, 3,25 г (8 ммоль) TFA-Pro-OFm и 1,08 г (8 ммоль) HOBr в смеси 30 мл этилацетата и 5 мл DMF прибавляли 1,1 мл (8 ммоль) DIEA. Перемешивали 2 ч, упаривали, растворяли в 300 мл этилацетата и промывали 0,1 н. H_2SO_4 (2 раза), насыщенным раствором $NaHCO_3$ (2 раза), насыщенным раствором $NaCl$ (3 раза). Этилацетат упаривали на роторном испарителе, растворяли полученное масло в эфире и осаждали пентаном дипептид (XXV) в виде масла. После высушивания в вакууме масляного насоса получили 5 г цептида (XXV), R_f 0,78 (А), 0,82 (Б), 0,89 (В), 0,76 (Г), FAB: $[MH^+]$ 655.

Boc-Thr(Bzl)Lys(Z)Pro-OFm (XXVI) синтезировали аналогично цептиду (XXV), получали 3,6 г масла, R_f 0,62 (А). FAB: $[MH^+]$ 846.

Boc-Arg(Tos)Thr(Bzl)Lys(Z)Pro-OFm (XXVII). К раствору 2,996 г (7 ммоль) Boc-Arg(Tos)-OH в 20 мл абсолютного тетрагидрофурана прибавляли 780 мкл (6 ммоль) N-метилморфолина, раствор охлаждали до $-20^\circ C$ и прибавляли при перемешивании 784 мкл (6 ммоль) изобутилхлорформиата. Через 1,5 мин к этому раствору прибавляли предварительно охлажденный до $-20^\circ C$ раствор 3,5 г (4 ммоль) TFA-Thr(Bzl)Lys(Z)-Pro-OFm (XXVIIa) и 750 мкл (4 ммоль) DIEA в DMF. Перемешивание продолжали 30 мин при $-20^\circ C$, затем 1 ч при комнатной температуре и упаривали. Реакционную смесь растворяли в этилацетате, промывали аналогично методике получения (XXV) и снова упаривали. Полученное масло (4,3 г) наносили на колонку с силикагелем и элюировали соединение (XXVII) 5% раствором метанола в хлороформе. После упаривания элюента и вспенивания получали 1,7 г соединения (XXVII), R_f 0,40 (А), 0,66 (Б), 0,73 (В). FAB: $[MH^+]$ 1157.

Boc-Arg(Tos)Thr(Bzl)Lys(Z)Pro-OH (XXVIIb). 1,7 г соединения (XXVII) растворяли в 25 мл 20% раствора пиperiцина в этилацетате. Через 30 мин прибавляли 150 мл этилацетата и промывали раствор 0,1 н. H_2SO_4 (3 раза). Растворитель упаривали, остаток наносили на колонку с силикагелем, промывали 5% метанолом в хлороформе и элюировали соединение (XXVIIb) 20% раствором метанола в хлороформе. После упаривания получили 1,5 г соединения (XXVIIb). R_f 0,31 (Г), 0,87 (Д).

Boc-Arg(Tos)Thr(Bzl)Lys(Z)Pro-OPfp (XXVIIc). К раствору 978 мг (1 ммоль) соединения (XXVIIb) в 3 мл этилацетата прибавляли 140 мкл (1 ммоль) N-метилморфолина и 600 мг (1,5 ммоль) дипентафторфенилкарбоната. Через 1 ч осаждали соединение (XXVIIc) смесью эфира и пентана (1 : 1). Получали 900 мг (92%) соединения (XXVIIc). R_f 0,66 (Г).

(ArgThrLysPro)_n (XXVIII). 900 мг (0,78 ммоль) соединения (XXVIIc) растворяли в смеси трифторуксусной кислоты и хлористого метиленса (1 : 1), через 2 ч упаривали и затирали полученное масло с эфиrom. Полученный порошок промывали эфиrom, сушили в вакууме и затем растворяли в 1,5 мл DMF. Прибавляли 260 мкл (2 ммоль) N-метилморфолина, 25 мг (0,2 ммоль) диметиламинопиридина и перемешивали в плотно закрытом сосуде 30 сут. После осаждения эфиrom получали 600 мг защищенного полигафтина. Деблокирование проводили по методике «High HF», как описано в работе [21]. После обессоливания на G-25sf в 1% уксусной кислоте получали 250 мг полимерного пептидного материала, который фракционировали на HW-40f в 1% уксусной кислоте. С помощью гель-

фильтрации на HW-55sf определяли кажущуюся молекулярную массу—15—20 кДа, что соответствует 30—40 тетрапептидным блокам. Тест по Мэрфи показал присутствие не более 1,4% D-Про в кислотном гидролизате соединения (XXVIII).

Конъюгация пептидов с носителями

1. *Конъюгация с MAVP.* 25 мг MAVP и 10 мкмоль пептида растворяли в 1 мл воды и прибавляли 20 мкмоль триэтиламина, перемешивали 12 ч, прибавляли 1 мл насыщенного раствора NaHCO_3 и перемешивали еще 12 ч. Затем раствор подкисляли уксусной кислотой до прекращения выделения углекислого газа и хроматографировали на G-25sf.

2. *Конъюгация с помощью глутаральдегида.* К раствору 20 мг белка и 10 мг пептида в 2 мл 0,1 М PBS, pH 7,5, при энергичном перемешивании прибавляли (порциями по 100 мкл, в течение 2 ч) 1 мл 0,25% раствора глутаральдегида. Раствор перемешивали еще 1 ч, затем прибавляли 50 мг боргидрида натрия. По окончании выделения газов диализовали против воды.

3. *Конъюгация с использованием MCS.* а) К раствору 30 мг аминосодержащего носителя (рAL или полиглаутамата) в 3 мл 0,05 М PBS, pH 7,5, прибавляли раствор 30,8 мг (0,1 ммоль) MCS в 0,1 мл 1,4-диоксана и перемешивали 40 мин при 18° С. Раствор обессоливали на G-10 в 1% уксусной кислоте при максимальной скорости элюента и собирали высокомолекулярную фракцию, содержащую модифицированный носитель.

б) 10 мкмоль пептида, защищенного по сульфогидрильной функции ацетамидометильной группой, растворяли в 2 мл, 0,02 М аммоний-ацетатного буфера, pH 5,0, прибавляли 0,1 ммоль (30 мг) ацетата ртути(II) и перемешивали 1 ч. Затем в течение 1 ч раствор насыщали током сероводорода, фильтровали осадок и лиофилизовали свободный пептид.

в) Немедленно после лиофилизации свободный пептид растворяли в 0,02 М аммоний-ацетатном буфере, pH 5,0, прибавляли носитель, модифицированный MCS, перемешивали 3 ч при 20° С и хроматографировали на G-25sf в 1% уксусной кислоте. Собирали высокомолекулярную фракцию, содержащую конъюгат пептида с носителем.

Иммунизация животных. Мышей линии BALB/c, C57B1/6 или F₁(C57B1/6xBALB/c), самок 4—5-недельного возраста иммунизировали в основание хвоста подкожно в объеме 0,1 мл эмульсией конъюгата в физиологическом растворе с полным или неполным адьювантом Фрейнда или конъюгатом в физиологическом растворе. На 28-е сут после первой иммунизации проводили повторную иммунизацию той же дозой конъюгата. Антисыворотку получали на 7-е сут после второй иммунизации и тестировали методом иммуноферментного анализа.

Иммуноферментный анализ. 96-луночные планшеты с плоским дном (Nunc) заполняли раствором (NANP)₄₀ в PBS, pH 7,4, концентрации 5 мкг/мл по 100 мкл в каждую лунку и инкубировали 12 ч при 4° С. Затем планшеты обрабатывали раствором BSA (Sigma) в PBS концентрации 1 мг/мл в течение 1 ч при 37° С. После промывки планшеты наносили антисыворотки в соответствующих разведениях и инкубировали 12 ч при 4° С. Планшеты промывали, прибавляли в каждую лунку по 100 мкл раствора конъюгата антимышьиных IgG-антител и пероксидазы хрена (Bio-Rad) в разведении 1 : 3000 в PBS с 0,05% Tween-20 (Bio-Rad) и инкубировали 1,5 ч при 37° С. Затем планшеты промывали, добавляли в каждую лунку по 100 мкл раствора о-фенилендиамина (Sigma) концентрации 1 мг/мл в 1% лимонной кислоте, pH 4,4, и 0,01% H_2O_2 . Планшеты инкубировали 10 мин при 37° С и реакцию останавливали 2 н. H_2SO_4 . Оптическое поглощение измеряли при 492 нм на приборе Multiskan MCC. Титр антисыворотки определяли при $D = 0,1$.

СПИСОК ЛИТЕРАТУРЫ

1. Hezzenberg L. A., Tokihisa T., Hezzenberg L. A. // Nature. 1980. V. 225. № 5767. P. 664—667.
2. Hezzenberg L. A., Tokihisa T. // J. Exp. Med. 1982. V. 155. № 6. P. 1730—1740.
3. Hezzenberg L. A., Tokihisa T., Parks D. R., Hezzenberg L. A. // J. Exp. Med. 1982. V. 155. № 6. P. 1741—1748.
4. Schutze M.-P., Lecler C., Jolivet M., Audibert F., Chedid L. // J. Immunol. 1985. V. 135. № 4. P. 2319—2322.
5. Good M. F., Maloy W. L., Lunde M. N., Margalit H., Cornette J. L., Smith G. L., Moss B., Miller L. H., Berzofsky J. A. // Science. 1987. V. 235. № 4792. P. 1059—1062.
6. Campbell G. H., Aley S. B., Ballou W. R., Hall T., Hockmeyer W. T., Hoffman S. L., Holingdale M. R., Howard R. J., Lyon J. A., Nardin E. H., Nussenzveig R. S., Nussenzveig V., Tsang V. C. W., Weber J. L., Wellems T. E., Young J. F., Zavala F. // Amer. J. Trop. Med. Hyg. 1987. V. 37. № 3. P. 428—444.
7. Milich D. R., Hughes J. L., McLachlan A., Thorntree G. B., Moriarty A. // Proc. Nat. Acad. Sci. USA. 1988. V. 85. № 5. P. 1610—1614.
8. Петров Р. В., Хаимов Р. М., Лиознер А. Л., Фонина Л. А., Некрасов А. В., Степанова Е. К., Андреев С. М., Борисова В. Р., Ракова О. А., Волынская Н. А. // Иммунология. 1985. № 5. С. 24—27.
9. Trudelle Y., Brack A., Delmas A., Pedoussaut S., Rivaille P. // Int. J. Peptide and Protein Res. 1987. V. 30. № 1. P. 54—60.
10. Etlinger H., Felix A. M., Gillessen D., Heimer E. P., Just M., Pink J. R. L., Singaglia F., Sturchler D., Takacs B., Trzeciak A., Matile H. // J. Immunol. 1988. V. 140. № 2. P. 626—633.
11. Enea V., Arnot D., Schmidt E. C., Cochrane A., Gwadz R., Nussenzveig R. S. // Proc. Nat. Acad. Sci. USA. 1984. V. 81. № 23. P. 7520—7524.
12. Giudice G. D., Cooper J. A., Merino J., Verdini A. S., Pessi A., Togna A. R., Engers H. D., Corradin G., Lambert P.-H. // J. Immunol. 1986. V. 137. № 9. P. 2952—2955.
13. Good M. F., Pombo D., Quakyi I. A., Riley E. M., Houghten R. A., Menon A., Alting D. W., Berzofsky J. A., Miller L. H. // Proc. Nat. Acad. Sci. USA. 1988. V. 85. № 4. P. 1199—1203.
14. Андронова Т. М., Иванов В. Т. Синтетические иммуномодуляторы. М.: Наука, 1991.
15. Pap B. A., Makarov E. A., Юровский В. В., Мещерякова Е. А., Андронова Т. М., Иванов В. Т. // Биоорган. химия. 1990. Т. 16. № 7. С. 904—915.
16. Bump N. J., Najjar V. A. // Mol. Cell. Biochem. 1984. V. 63. № 2. P. 137—142.
17. Dagan S., Tzeboval E., Fridkin F., Felfman M. // J. Biol. Response Modifiers. 1987. V. 6. № 6. P. 625—636.
18. Иванов В. В., Юровский В. В., Тертышникова С. М., Андронова Т. М., Иванов В. Т. // Биоорган. химия. 1991. Т. 17. № 4. С. 486—493.
19. Кайдалов А. А., Уткин Ю. Н., Андронова Т. М., Цемлин В. И., Иванов В. Т. // Биоорган. химия. 1987. Т. 13. № 11. С. 1523—1529.
20. Souvannavong V., Brown S., Adam A. // Mol. Immunol. 1988. V. 25. № 4. P. 385—391.
21. Tam J. P., Merrifield R. B. // The Peptides. V. 9 // Eds Udenfriend S., Meienhofer J. N. Y.: Acad. Press, 1987. P. 185—248.

Поступила в редакцию
24.VII.1990

B. B. IVANOV, E. A. MESHCHERYAKOVA, T. M. ANDRONOVA, V. T. IVANOV

SYNTHETIC CARRIERS AND ADJUVANTS INCREASE IMMUNOGENICITY OF THE SYNTHETIC PEPTIDE, B-EPITOPE FROM CS-PROTEIN OF PLASMODIUM FALCIPARUM

M. M. Shemyakin Institute of Bioorganic Chemistry, Academy of Sciences
of the USSR, Moscow

In order to increase immunogenicity of the peptide (NANP)₃, we have prepared a large set of fully synthetic constructions based on the peptide, glycopeptide adjuvant GMDP and some synthetic carriers. Immunogenicity of these constructions was tested on mice (line C57B1/6) responding to the peptide polymer (NANP)₄₀ without carrier and on mice (line BALB/c) not responding to this antigen. Immunogenic constructions based on synthetic polytuftsin induced as high titres of anti-(NANP)₃ antibodies as the standard conjugate KLH—(NANP)₃. The chimeric peptide consisting of (NANP)₃ and tuftsin dimer induced anti-(NANP)₃ antibodies in both lines of mice as well. The GMDP covalent attachment to the immunogenic constructions increased the antipeptide antibodies titre. The results are discussed in terms of an approach to synthetic vaccines.